

I アレーショントンクにおける液の流動に関する一考察

日本大学工学部 正会員 深谷宗吉

同上 正会員 中村玄正

同上 学生員 小泉聖人

1 はじめに

散気式工アレーショントンクにおいては、タンク底部より気泡を発生させ、この隙生する旋回流によって、タンク内の液を混合かつ攪拌させ、活性汚泥の沈降防止を図っている。Iアレーショントンク内での旋回流速については、従来種々実測されていながら、この旋回流速を任意のエアレーショントンクにおいて理論化しようとする研究はあまりされていない。

本研究は、単一孔から発生する気泡群によつて誘起される液の循環 流動機構を明らかにするために 気泡の性状 分布、液の循環状態さらに流速等について基礎的実験を行ない考察を加え、また、旋回流速をモデル的に数式化し、実験結果と対応させたものである。その結果、いくつかの知見が得られたので、ここに報告する。

2 実験装置および実験方法

実験装置の概略を図-1に示す。実験方法は、タンク底部に孔径 0.5mmの単一孔の散気管を設置して、空気量の変化に伴う、各槽の流速、気泡の上昇速度 気泡の長径がうひに短径を高照度マルチストロボを発光させて写真撮影し、このフィルムを実寸大にスクリーン上に拡大し測定した。

3 実験結果および考察

3-1 気泡算定の近似式 単一孔から発生した気泡だけとんと回転槽内体気泡とみがせることから、体積 V_b 、球体積相当径 D_b を次式より求めた。

$$V_b = \frac{\pi}{6} D_a^2 D_b = \frac{\pi}{6} D_a^3 \dots \quad (1) \quad D_b = (D_a^2 D_b)^{1/3} \dots \quad (2)$$

3-2 流速の整理 図-2は、B槽の流速 U_L と個数頻度の関係を示したものである。図-3は、これらの分布を正規確率紙にプロットしたものでありほぼ直線とみなせる。従つて流速はほぼ正規分布に従うと言える。すがわら次式で示される。

$$\frac{n}{2\pi} = \frac{1}{\sqrt{2\pi}\sigma} \exp \left[-\frac{(U_L - \bar{U}_L)^2}{2\sigma^2} \right] \dots \quad (3)$$

3-3 液の流動状態 液の流れはタンクの中心部にコアが認められ周辺では、停滞水域が確認された。液はタンクのほぼ中心を原点として旋回するものと考えられる。また、表面流速と底面流速に多少の差があるが、内部旋回流速と外部旋回流速にはかなりの差異が認められた。

3-4 流速と δ の関係 図-4は、各槽における内外部旋回流速と δ との関係を示したものである。図より空気量の増加に伴つて、内外部旋回流速とも増加している。また、外部旋回流速が内部旋回流速と比較して大きいことがわかる。これは外部旋回流が、発生する気泡によつて直接誘起されるためと考へられる。

4 流速の数式化

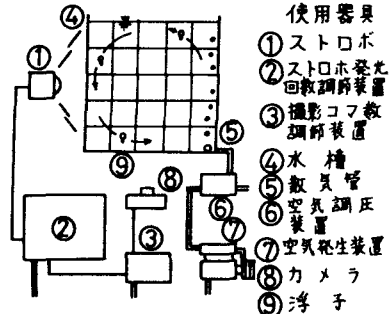


図-1 流速測定装置図

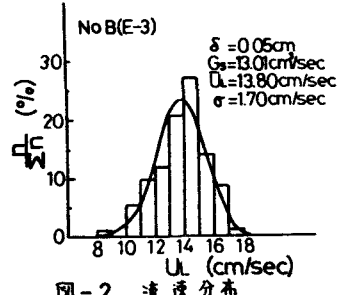


図-2 流速分布

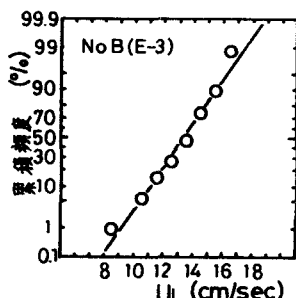


図-3 正規確率紙上の流速分布

図-4のようく液ガタンクの中面を原点として旋回するものと仮定し、タンク内の水の流れに関して、与えらかと失がわれる力の平衡を考えると、水の流れに与えらかは

(1) 気泡の混入によるみかけ密度の軽量化による力

(2) 気泡の上昇力による力

が考えられ、一方失がわれる力は

(3) 壁面の摩擦による力

(4) 屈曲等による力

が考えられる。これらの力は具体的には次のように表わすことができる。

(1) 気泡の混入によるみかけ密度の軽量化による力

気泡存在部と気泡非存在部において散気管の位置での静水圧の差は

$$P_0 = \rho g H - \rho_0 g H = \rho(R - R_0) g H = \rho(R - R_0) g H \quad \dots \dots \dots (4)$$

となり、この圧力差による力は次のようく表わされる。

$$B_0 B_2 P_0 = B_0 B_2 (R - R_0) g H = B_0 B_2 (R - R_0) \frac{g}{A_T} \frac{1}{(U_B - U)} g H \quad \dots \dots \dots (5)$$

(2) 気泡の上昇力による力

気泡1個が水塊に与えらかが平均的に

$$\frac{\pi}{8} C_{00} D_a^2 \rho_L g s (U_B - U)^2 \quad \dots \dots \dots (6)$$

と表わされるとすると、気泡がN個存在するから次式のようになる。

$$N \frac{\pi}{8} C_{00} D_a^2 \rho_L g s (U_B - U)^2 \quad \dots \dots \dots (7)$$

(3) 壁面の摩擦による力

摩擦抵抗下が摩擦抵抗係数 f_L を定数と仮定し、 $F = f_L S L \frac{1}{2} \rho_L V^2$ で与えられるとすると任意の半径 R における幅 dr の環状部分に働く摩擦抵抗 dF は

$$dF = f_L \rho_L \frac{\omega^2 r^2}{2} ds = 2\pi f_L \rho_L \omega^2 r^3 dr \quad \dots \dots \dots (8)$$

となり、全体に働く摩擦抵抗 F は次のようく表わされる。

$$F = 2\pi f_L \rho_L \omega^2 \int_0^R r^3 dr = \frac{1}{2} \pi f_L \rho_L \omega^2 R^4 \quad \dots \dots \dots (9)$$

(4) 屈曲等による力

屈曲等による力 F' は、屈曲損失係数 f'_L を定数と仮定すると次式のようく表わされる。

$$F' = f'_L \rho_L \frac{V^2}{2} = \pi f'_L \rho_L B_2 \omega^2 R^3 \quad \dots \dots \dots (10)$$

以上のことから力の釣合いを考えると

$$(5) + (7) = (9) + (10)$$

となり、角速度 ω に関する次式を得る。

$$B_0 B_2 (R - R_0) \frac{g}{A_T} \frac{1}{(U_B - U)} g H + N \frac{\pi}{8} C_{00} D_a^2 \rho_L (U_B - U)^2 = \frac{1}{2} \pi f_L \rho_L \omega^2 R^4 + \pi f'_L \rho_L B_2 \omega^2 R^3 \quad \dots \dots \dots (11)$$

図-6は、(11)式より求めた理論値と実験値との比較を示したものである。ほほ理論値と実験値が一致していることがわかる。

最後に本研究において、水理学的面から御指導頂きました日本大学工学部木村教授に厚く御礼を申し上げますまた、日本大学工学部学生、内田、大連、山口、山下、山田君の協力を得ました。ここに謝意を表します。

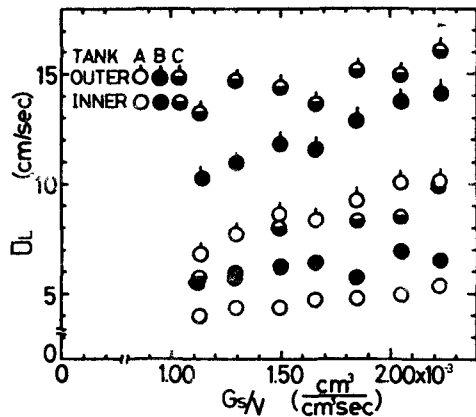


図-4 ULとGs/Vの関係

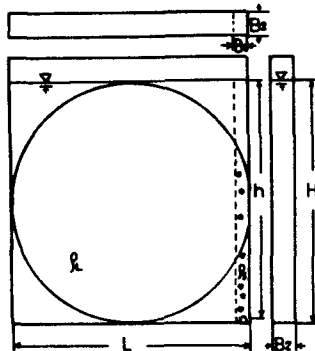


図-5 流れモデル

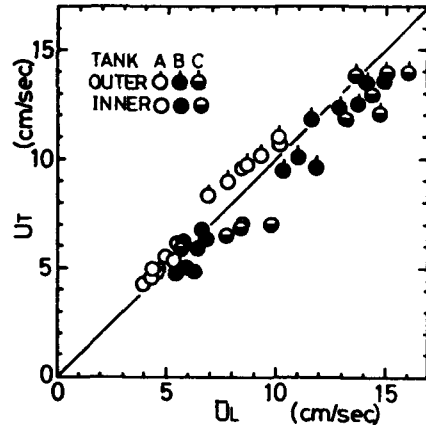


図-6 ULとULの比較